

Введение

Баллистические устройства применяются в научных исследованиях при изучении процессов плазмен- и фотохимии, при исследованиях способов накачки твердотельных лазеров и т.д. [1], [2].

В настоящее время решены задачи расчета теплоэнергетических параметров для опорного плазмотрона, различных ствольных систем с диафрагмами, двухстадийных плазмотронов и подобных им систем.

1. Постановка задачи

Требуется на основе единого алгоритмического подхода построить математическую модель, позволяющую рассчитать динамику работы и термодинамические характеристики в каждой внутренней точке двухстадийного плазмотрона. При этом следует проследить динамику второго дифференциала энтропии и построить графики параметров в фазовых плоскостях.

Расчеты и экспериментальные данные показывают [3], что подобные системы можно разбить на секции – ограниченные стенками части пространства, в которых параметры газа допустимо принять одинаковыми во всех точках в фиксированный момент времени. Каждая секция имеет J входов и выходов для массообмена, стенки секции проницаемы для радиационного теплообмена, причем взаимодействие осуществляется как между стенками, так и с окружающей средой. Поэтому, если есть теплообмен с окружающей средой, имеет смысл обозначить эту среду как 0-секцию.

Рассматриваемый подход может быть распространен на любые газовые термодинамические системы, в которых соблюдаются следующие условия:

- 1) скорость движения газа в секции значительно меньше звуковой (скорость изменения параметров внутри секции много меньше скорости распространения возмущения по секции);
- 2) характерные времена межсекционных процессов много больше времени прохода звуковой волны по секциям.

2. Разработка алгоритма расчета

Ранее было показано [3], что рабочий газ в плазмотроне в рассматриваемых условиях ведет себя как идеальный с уравнением состояния $p = \rho RT$, p – давление газа, ρ – плотность, R – газовая постоянная, T – температура. Изменение параметров газа в отдельной секции определяется законами сохранения массы и энергии. Согласно уравнению расхода:

$$\frac{dm_i}{dt} = \sum_j G_{ij} + \sum_k g_{ki},$$

где t – время; m_i – масса газа в i -й секции, G_{ij} – расход газа в i -й секции через j -е отверстие, g_{ki} – источники массы внутри секции; k – свободный индекс.

В каждой из секций возможны превращения полной энергии, в общем случае сводящиеся к подведению (или отводу) тепла извне. Запишем уравнение энергии для i -й секции:

$$\frac{dE_i}{dt} = \sum_j H_{ij} G_{ij} + \sum_k q_{ki},$$

где $H_{ij} = c_{pi} T_i$ – энтальпия газа; $dE_i = d(m_i c_{vi} T_i) + p_i dV_i$ – изменение полной энергии газа в секции; q_{ki} – источники энергии внутри в секции; c_p и c_v – теплоемкости газа при постоянном давлении и объеме соответственно.

Стенки секции могут эволюционировать (при этом изменяется объем секции). Пусть количество стенок, определяющих изменение объема секции, равно L . Уравнения движения стенок:

$$m_h \frac{d^2 x_h}{dt^2} = \sum_j F_{hj} + \sum_k F_{hk},$$

где m_h - массы поршней или движущихся стенок секции; x_h - координаты узлов стенок системы; F_{ij} - силы, действующие на элементы стенок со стороны секций; F_{hk} - внутренние силы в стенке l (например, силы трения). Через систему уравнений движения стенок можно определить объем секции: $V_l = f(x_{lj}, \sigma_{lj})$, σ_{lj} - площадь стенки. Эту систему можно представить как систему первого порядка, если ввести L переменных $w_h = dx_h/dt$.

Как было сказано ранее, в секции имеется J отверстий. Расход газа G через каждое такое отверстие с сечением S определяется по формуле [4]:

$$\begin{cases} G = \rho^* a^* S \left(\frac{2}{\gamma+1} \right)^{1/2} \left(1 - \frac{\gamma-1}{\gamma+1} \lambda^2 \right)^{\frac{1}{\gamma-1}} \lambda, & 0 \leq \lambda \leq 1, \\ G = \rho^* a^* S \left(\frac{2}{\gamma+1} \right)^{\frac{\gamma+1}{2(\gamma-1)}}, & \lambda > 1, \end{cases}$$

$$\lambda = \sqrt{\frac{\gamma+1}{\gamma-1} \left[1 - \left(\frac{p_H}{p^*} \right)^{\frac{\gamma-1}{\gamma}} \right]},$$

где λ - приведенная скорость [4], знак "*" относится к параметрам торможения, "H" - к атмосферным параметрам, γ - показатель адиабаты. Причем газ может как втекать из секций с большим давлением, так и вытекать в секции с меньшим давлением.

Если представить систему уравнений в переменных T, p, V , (V - объем), то:

$$m_{li} \frac{d^2 x_{li}}{dt^2} = \sum_j F_{lj} + \sum_k F_{lk}, \quad l = 1, L,$$

$$\frac{dp_i}{dt} = \frac{1}{V_i} \sum_j G_{mj} - \frac{\rho_i}{V_i} \frac{dV_i}{dt} + \frac{1}{V_i} \sum_k g_{ki}, \quad (1)$$

$$\frac{dT_i}{dt} = \frac{1}{V_i} \sum_j \left[\frac{\rho_m}{\rho_i} \left(\frac{c_{pm}}{c_{vi}} T_m - T_i \right) G_{mj} \right] - (\gamma_i - 1) \frac{T_i}{V_i} \frac{dV_i}{dt} - \frac{1}{c_{vi} \rho_i V_i} \sum_k q_{ki},$$

где

$$G_{ml} = -\rho_m a_m S_{ml} \begin{cases} \left(\frac{2}{\gamma_m+1} \right)^{\frac{\gamma_m+1}{2(\gamma_m-1)}}, & p_l < p_m k_m \\ \sqrt{\frac{2}{\gamma_m-1} \left[1 - \left(\frac{\rho_l T_l \mu_m}{\rho_m T_m \mu_l} \right)^{\frac{\gamma_m-1}{\gamma_m}} \right]} \left(\frac{\rho_l T_l \mu_m}{\rho_m T_m \mu_l} \right)^{\frac{\gamma_m-1}{\gamma_m}}, & p_m k_m \leq p_l < p_m \end{cases}$$

$$m, l = \begin{cases} i, j, & p_i > p_j, \\ j, i, & p_i \leq p_j, \end{cases}, \quad a_m = -a_l$$

где k, l, m - свободные индексы. Если нет специальных ограничивающих устройств (клаванов), то $S_{ij} = S_{ji}$.

3. Построение математической модели

Рассмотрим полученную систему (1) применительно к двухстадийному плазмотрону (рис.1). Первоначально в камере низкого давления (КНД) находится толкающий газ (воздух) под некоторым давлением p_{01} (до 200атм). Положение тяжелого поршня 1 и легкого 2 (рис.1)

строго фиксированы. В легком поршне имеется перепускное сопло диаметром d_2 , а вдув газа в выходную камеру осуществляется через сопло диаметром d_c . В стволе плазмотрона находится рабочий газ под давлением p_0 . Здесь и далее индекс 0 относится к начальным условиям.

После перепуска толкающего газа в ствол плазмотрона тяжелый поршень приходит в движение, сжимая рабочий газ. Как показывают эксперименты [2], легкий поршень вследствие инерции остается на месте вплоть до подхода тяжелого поршня. В это время осуществляется перепуск газа из пространства между поршнями в область за вторым поршнем и последующее дожатие обоими поршнями.

Необходимо рассчитать характеристики рабочего газа (температуру, давление, плотность) в процессе сжатия и определить законы движения поршней. Выделим 4 секции: 1 - секцию КНД, 2 - секцию между первым и вторым поршнем, 3 - секцию за вторым поршнем плазмотрона и 4 - секцию выходной камеры.

Для первой секции уравнение расхода и уравнение энергии непосредственно интегрируются (адиабатный процесс). Тогда:

$$\begin{aligned} \frac{d\rho_2}{dt} &= \frac{G_{23}}{V_2} - \frac{\rho_2}{V_2} \frac{dV_2}{dt}, \\ \frac{d\rho_3}{dt} &= \frac{G_{32}}{V_3} + \frac{G_{34}}{V_3} - \frac{\rho_3}{V_3} \frac{dV_3}{dt}, \\ \frac{d\rho_4}{dt} &= \frac{G_{43}}{V_4}, \\ \frac{dT_2}{dt} &= \frac{1}{V_2} \frac{\rho_m}{\rho_2} \left(\frac{c_{pm}}{c_{v2}} T_m - T_2 \right) G_{23} - (\gamma_2 - 1) \frac{T_2}{V_2} \frac{dV_2}{dt} - \frac{q_2}{c_{v2} \rho_2 V_2}, \\ \frac{dT_3}{dt} &= \frac{1}{V_3} \frac{\rho_m}{\rho_3} \left(\frac{c_{pm}}{c_{v3}} T_m - T_3 \right) G_{32} + \frac{1}{V_3} \frac{\rho_m}{\rho_3} \left(\frac{c_{pm}}{c_{v3}} T_m - T_3 \right) G_{34} - (\gamma_3 - 1) \frac{T_3}{V_3} \frac{dV_3}{dt} - \frac{q_3}{c_{v3} \rho_3 V_3}, \\ \frac{dT_4}{dt} &= \frac{1}{V_4} \frac{\rho_m}{\rho_4} \left(\frac{c_{pm}}{c_{v4}} T_m - T_4 \right) G_{43} - \frac{q_4}{c_{v4} \rho_4 V_4}, \\ m_{p1} \frac{d^2 x_1}{dt^2} &= R_0 \frac{\pi D^2}{4} \left[\frac{M_{01} T_{01} (V_{01} / V_1)^{\gamma_1 - 1}}{\left(V_{01} + \frac{\pi D^2}{4} (x_1 - l_{p1} / 2) \right) \mu_1} - \frac{\rho_2 T_2}{\mu_2} \right] - (F_{fr1}), \\ m_{p2} \frac{d^2 x_2}{dt^2} &= R_0 \frac{\pi D^2}{4} \left[\frac{\rho_2 T_2}{\mu_2} - \frac{\rho_3 T_3}{\mu_3} \right] - (F_{fr2}). \end{aligned} \quad (2)$$

где элементы q рассчитаны по методике [5], F_{fr} – силы трения, R_0 – универсальная газовая постоянная; μ - молярные массы, индексы 01 относятся к начальным условиям в первой секции. Система, аналогичная (2), для двухстадийного плазмотрона впервые была получена В.М. Шмелевым и Н.Я. Василюком (ИХФ г. Москва).

На рис.2,3 приведены графики изменения температуры газа и объема секций по времени. Расчет выполнен при $T_0 = 300\text{K}$, $\rho_0 = 1.29\text{кг/м}^3$, начальном давлении толкающего газа 40атм.

На рис.4,5 показаны те же характеристики в фазовой плоскости. Видно, что параметры во второй и третьей секциях находятся в противофазе.

Что касается 2-го дифференциала энтропии, то он всюду отрицателен, что свидетельствует об устойчивости системы:

$$\delta^2 S = \delta T^{-1} \Delta E + \delta(pT^{-1}) \delta V.$$

Его производная по времени A в фазовой плоскости показана на рис.6.

Заключение

Рассмотренная в данной работе математическая модель позволила рассчитать характеристики рабочего газа в двухстадийном баллистическом плазмотроне и определить 2-й дифференциал энтропии. Показано, что устройство при заданных начальных условиях имеет устойчивое решение и это связано с динамикой приращения энтропии в процессе.

Список литературы

1. Dowling J.A., Shumsky J., Eckerman J., Schelier R.E. A Demonstration of Laser Pumping Using a Compress Gas Light Source.// Appl. Physics Letters, 1968, V. 12. № 5. P.184.
2. Марголин А.Д., Василик Н.Я., Шмелев В.М. и др. Баллистические плазмотроны с многостадийным нагревом// Тез. докл. первого Всесоюзного симпозиума по радиационной плазмодинамике. - М.: Энергоатомиздат, 1989. С 33.
3. Волов Д.Б. Теплоэнергетические характеристики вихревой камеры баллистического плазмотрона: Дис.... канд. тех. наук. М., 1998. 158с.
4. Абрамович Г.Н. Прикладная газовая динамика. М.: Наука, 1976. 888 с
5. В.Т.Волов, Д.Б. Волов, Ю.Л.Ратис. Построение схемы расчета переноса излучения для задач радиационной газовой динамики// Изд-во РАН: Журнал вычислительной математики и математической физики. Т.38. №11. М., 1998.

Иллюстрации к статье В.Т. Волова, Д.Б. Волова
Термодинамические процессы в баллистических системах

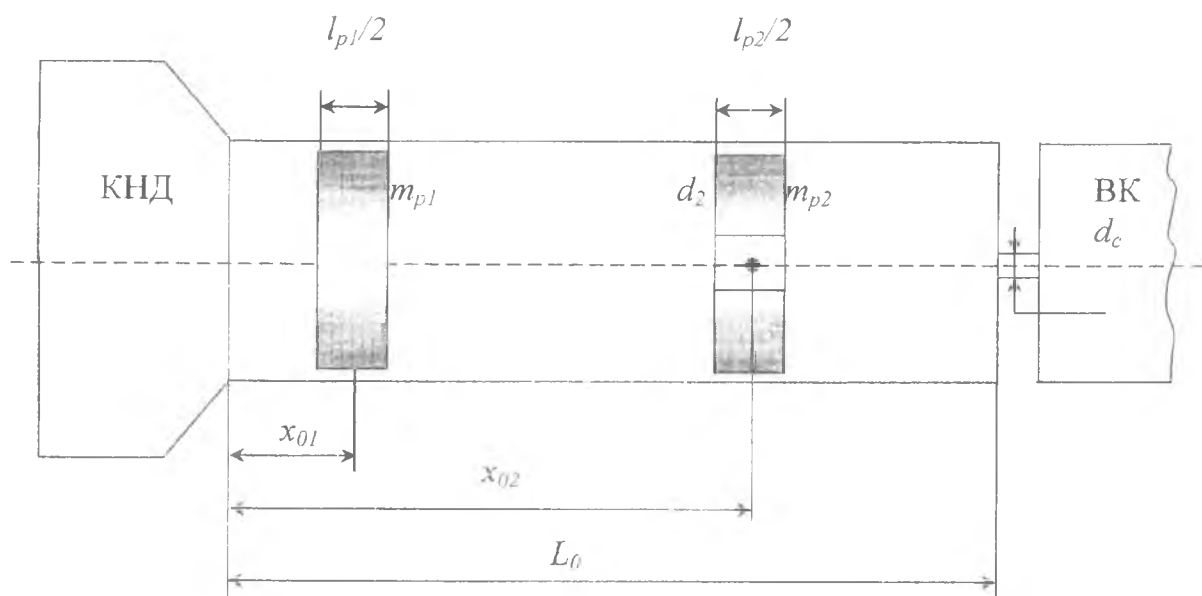


Рис.1. Схема двухстадийного баллистического плазмотрона

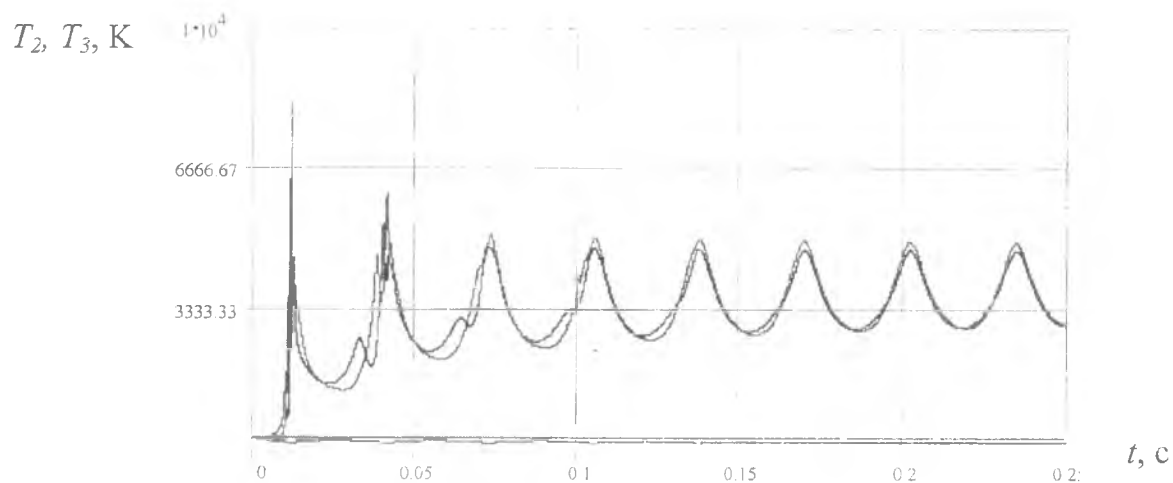


Рис.2. Изменение температуры во второй (сплошная) и третьей (штриховая) секциях

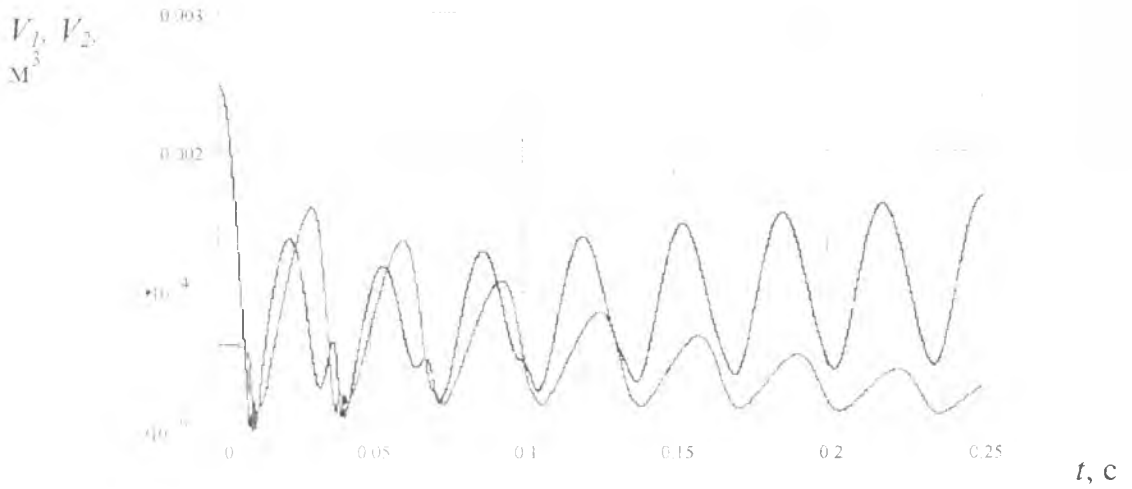


Рис.3. Изменение объема второй (сплошная) и третьей (штриховая) секций

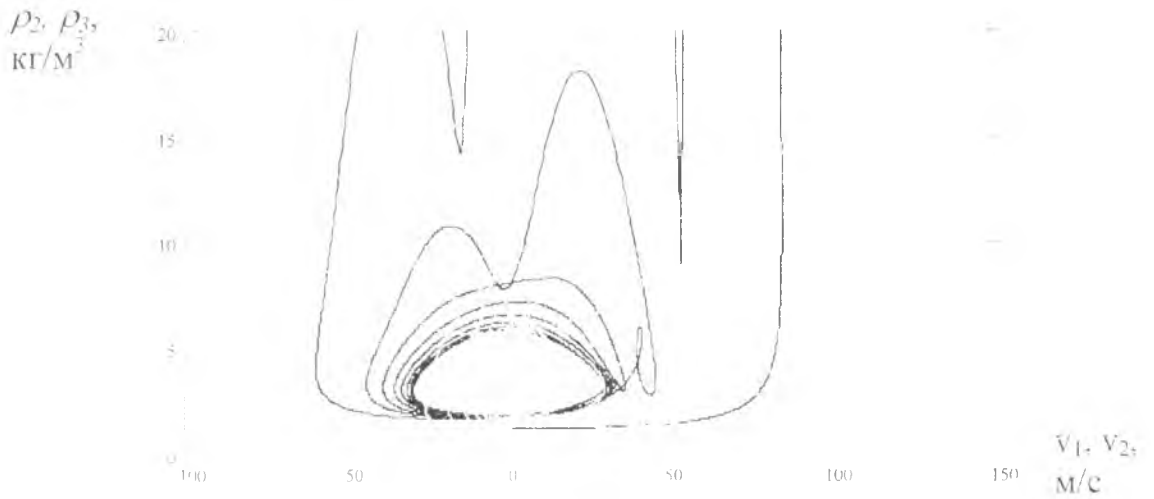


Рис.4. Плотность во второй (черная) и третьей (серая) секциях в фазовой плоскости

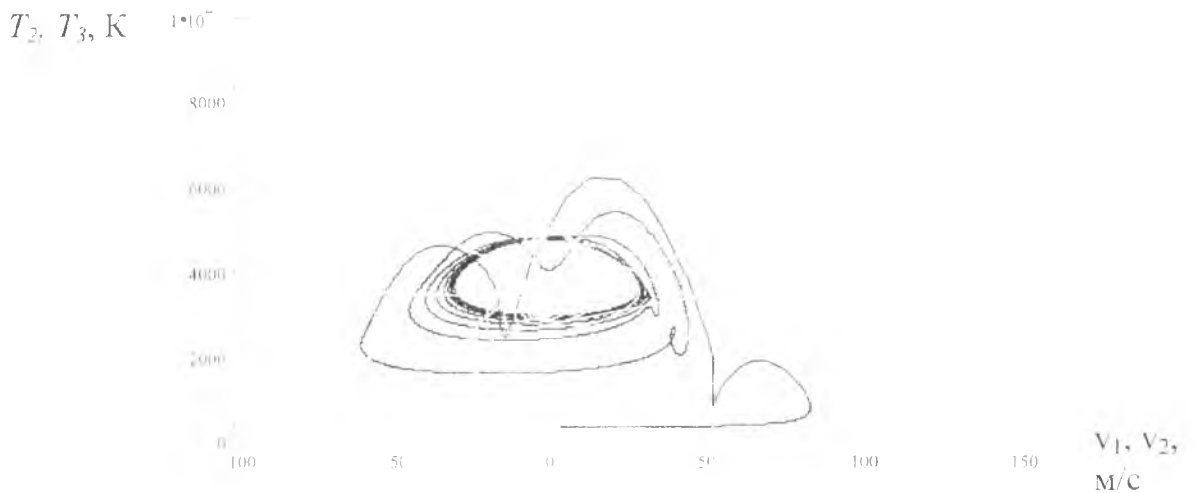


Рис.5. Температура во второй (черная) и третьей (серая) секциях в фазовой плоскости

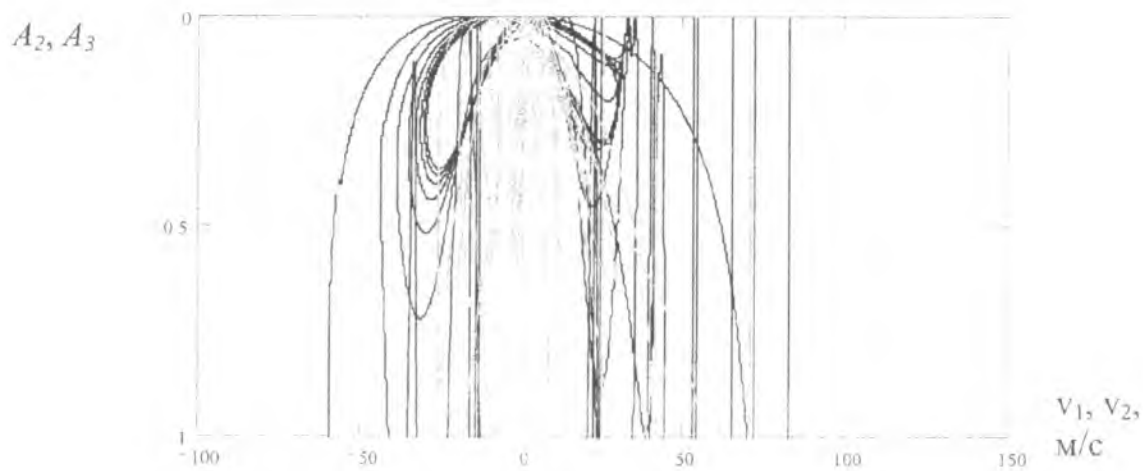


Рис.6. Параметр A во второй (черная линия) и третьей (серая линия) секциях